

Член-корреспондент АН СССР Н. С. ЛИДОРЕНКО, Н. М. КАГАН,  
С. П. ЧИЖИК, Р. М. МАРИНОВА, Ю. Н. ПИСАРЕВ, А. Б. ИВАНОВА

## О МЕХАНИЗМЕ НИЗКОТЕМПЕРАТУРНОГО СПЕКАНИЯ ВЫСОКОДИСПЕРСНОЙ ПЛАТИНОВОЙ ЧЕРНИ

При исследовании термостойкости различных платиновых катализаторов на некоторых образцах, полученных по методу Адамса (<sup>1</sup>), наблюдалось довольно редкое явление интенсивного спекания, начинающегося в вакууме при  $\sim 100^\circ$  и на воздухе при  $140-180^\circ\text{C}$ . Аналогичное поведение наблюдалось (<sup>2</sup>) у Pt-черни, полученной восстановлением формальдегидом. Быстрое спекание в атмосфере кислорода начиналось при  $180^\circ$ , в азоте этот эффект отсутствовал. Причину такого спекания авторы

усматривали в накоплении деформаций в решетке из-за внедрения кислорода. Учитывая большой интерес к механизму начальных стадий спекания высокодисперсных порошков и термостойкости катализаторов мы приводим экспериментальные данные, позволяющие объяснить наблюдаемые явления на основе представлений интенсивно развивающейся теории спекания (<sup>3-5</sup>).

**Экспериментальные результаты.** Платиновая чернь получалась восстановлением высокодисперсного порошка  $\text{PtO}_2$ , образующегося при сплавлении платинохлористоводородной кислоты и натриевой селитры при  $520^\circ$ . Навеска порошка (0,2–0,5 г) загружалась в стеклянную колбу и термообрабатывалась в вакууме

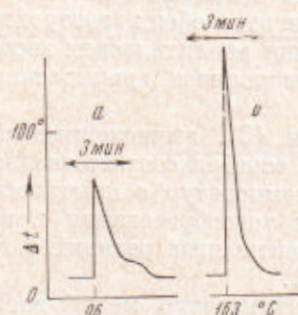


Рис. 1. Термограммы спекания порошков в вакууме (а) и на воздухе (б)

или на воздухе. В вакууме порошок сначала дегазировался до давления  $10^{-2}$  тор; температура поднималась со скоростью 5 град/мин до начала экзотермического эффекта. На рис. 1 приведены примеры термограмм спекания, записанные дифференциальной термопарой на самописце типа ПСР. Один спай термопары погружали в порошок, второй находился рядом с колбой. В вакууме контакт термопары с порошком был хуже, чем на воздухе, из-за обеспечивающего герметичность стеклянного чехла. В табл. 1 приведены данные различных методов, характеризующие дисперсность и структуру исходных и спекшихся в вакууме порошков. Исходные частицы в основном одноблочны, так как их средний размер 100–130 Å, а средний размер блоков более 60 Å. После спекания на воздухе (рис. 2б) поверхность образца II снизилась с 30 до 6 м<sup>2</sup>/г. Спекание в вакууме приводило (табл. 1) к еще большему уменьшению поверхности. Размер блоков после спекания более чем в три раза превышает размер исходных частиц. Это указывает на то, что, кроме процессов диффузии, приводящих к слиянию частиц и закрытию пор, протекают процессы типа рекристаллизационных.

$S_{\text{взт}}$  определялась по низкотемпературной адсорбции аргона и криптона,  $d_{\text{взт}} = 6 / \rho S$ . Кривые заряжения снимались в 1 N  $\text{H}_2\text{SO}_4$ , поверхность вычислялась по заряду водородной области. Размер исходных частиц определялся по малоугловому рассеянию  $\text{CuK}$ -излучения методом касательных. Размеры блоков определялись по уширению линии (111) без поправки

ки на искажения и дефекты упаковки. Поэтому приведенные размеры блоков меньше истинных, но, естественно, не больше размера частиц.

**Обсуждение результатов.** Естественной причиной тепловыделения при спекании является избыточная поверхностная энергия. По данным <sup>(7)</sup>, для платины  $\sigma = 2,7 \cdot 10^9$  эрг/см<sup>2</sup>. Отсюда, уменьшение поверхности, например, на 20 м<sup>2</sup>/г должно сопровождаться выделением  $\sim 8$  кал/г и саморазогревом порошка (максимально на 250°). Измеряемый скачок температуры порошка составлял в разных опытах от 50 до 130°, что существенно ниже величины, рассчитанной по изменению удельной поверхности. Основная причина такого различия лежит в быстрой теплопередаче от порошка к колбе и инерционности измерительного устройства.

С учетом экспериментальных и литературных данных ход спекания можно представить себе следующим образом. При достижении в вакууме  $\sim 100^\circ$ , а на воздухе 140—180° некоторые гранулы порошка разрушаются под действием сил тяжести, ван-дер-ваальса или по другим причинам, что приводит к более компактной укладке частиц. Предположение о легкости разрушения гранул согласуется с высокой микропористостью порошка (рис. 2б) и низким координационным числом (к.ч.  $< 4$ ), вытекающим, согласно <sup>(8)</sup>, из факта отсутствия для глобулярных структур гистерезиса на изотерме адсорбции (рис. 2а). Появление свежих контактов, не блокированных примесями или выходами дислокационных линий, препятствующих спеканию путем поверхностной диффузии <sup>(9)</sup>, стр. 82), ускоряет первый этап спекания — увеличение поверхности контакта. Выделяющееся при этом тепло приводит к заметному локальному разогреву, дополнительному ускорению процесса спекания и распространению его на

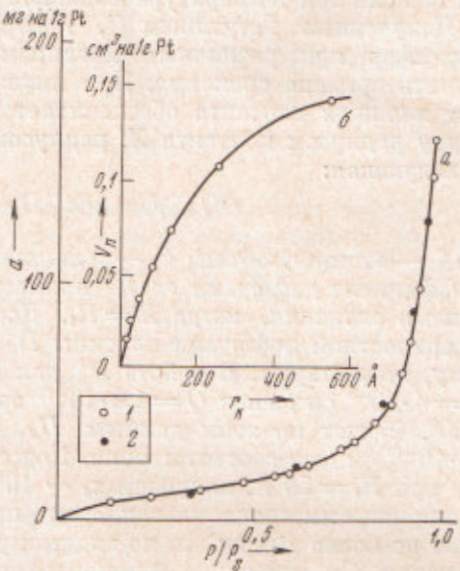


Рис. 2. Микропористость исходного порошка Pt-черни (образец I, насыпной вес  $\rho \sim 1$  г/см<sup>3</sup>). а — изотерма адсорбции ацетона при 25° (1 — адсорбция, 2 — десорбция); б — зависимость объема пор ( $V_n$ ) от радиуса ( $r_n$ ), рассчитанная по изотерме адсорбции

Таблица 1

Дисперсность платиновой черни исходной и спеченной в вакууме

	Удельная поверхность $S$ , м <sup>2</sup> /г		Размер частиц и блоков $d$ , Å		
	БЭТ	по кривым зарядки-разрядки	БЭТ	рентгеновский метод	
				частицы	блоки
Образец I	26	25	120	100	64
Образец II	2,5	0,7	1200	—	320
Исходный	30	28	100	130	74
Спеченный	3,5	3	830	—	300

весь объем порошка. Влияние тепловыделения на ход спекания подтверждается данными спекания платины в смеси с порошком никеля с размером частиц  $\sim 5$   $\mu$  в соотношении 1 : 2, присутствие которого должно значи-

тельнее. Примеси никеля, вероятно, блокируют контакты между частицами, препятствуя спеканию. Дополнительное действие никеля может быть связано с тем, что никель обладает меньшим координационным числом (к.ч.  $< 4$ ), чем платина (к.ч. 7), что способствует уменьшению радиуса контакта и, следовательно, уменьшению тепловыделения при спекании.

тельно снижать величину саморазогрева. После термообработки в вакууме при 100, 200 и 300° в течение 30 мин. удельная поверхность платины составляла 26; 18,5 и 5,5 м<sup>2</sup>/г соответственно. Это дает основание предположить, что интенсивное спекание чистого порошка платины происходило фактически при температуре выше 200°.

Полученные Гегузином (<sup>4</sup>, <sup>5</sup>) выражения для скорости пришкания двух сфер при различных механизмах роста позволяют теоретически оценить времена спекания. При низких температурах наиболее быстрый рост площади контакта обеспечивается поверхностной диффузией. Связь между радиусом контакта  $X$ , радиусом частицы  $R_0$  и временем спекания  $\tau$  следующая:

$$(X/R_0)^7 = 28\sigma\Omega D_s \delta_s \tau / R_0^4 k T = \tau/\tau_0, \quad (1)$$

где  $\Omega$  — атомный объем;  $\delta_s$  — толщина приповерхностного слоя, в котором коэффициент диффузии  $\approx D_s$  (примем  $\delta_s=10$  Å);  $\tau_0$  — характерное время полного спекания, когда  $X=R_0$ . Достоверные значения коэффициента поверхностной диффузии платины  $D_s$  при низкой температуре, по-видимому, отсутствуют. В работе (<sup>8</sup>) для  $D_s=D_0 e^{-Q/kT}$  приведены значения  $D_0=4 \cdot 10^{-3}$  см<sup>2</sup>/сек и  $Q=1,8 \cdot 10^{-12}$  эрг, определенные в интервале 900—1300°. Расчет по этим данным  $D_s$  для 100 и 200° дает  $4 \cdot 10^{-18}$  и  $6,3 \cdot 10^{-15}$  см<sup>2</sup>/сек соответственно. Подставляя эти значения  $D_s$  в уравнение (1) при  $R_0=50$  Å, получаем  $\tau_0 \sim 10^4$  сек. для 100° и  $\sim 7$  сек. для 200°. Из термограмм спекания видно, что продолжительность подъема температуры не более 10 сек., и, по-видимому, за это время протекает основное спекание. По порядку величины это время совпадает с теоретической оценкой характерного времени спекания для 200°, что подтверждает высказанные выше предположения о характере развития наблюдаемого процесса спекания.

Поступило  
4 V 1971

#### ЦИТИРОВАННАЯ ЛИТЕРАТУРА

- <sup>1</sup> Синтезы органических препаратов, Сборн. 4, М., 1953. <sup>2</sup> Ю. М. Тюрий, Л. Г. Феоктистов, Кинетика и катализ, 4, в. 2, 221 (1963). <sup>3</sup> В. Д. Джонс, Прессование и спекание, М., 1965, стр. 179. <sup>4</sup> Я. Е. Гегузин, Физика спекания, М., 1967. <sup>5</sup> Я. Е. Гегузин, Матер. конфер., Поверхностная диффузия и растекание, М., 1969. <sup>6</sup> А. П. Карнаухов, Матер. конфер. Методы исследования структуры высокодисперсных и пористых тел, М., 1958, стр. 71. <sup>7</sup> О. М. Полторак, Лекции по теории гетерогенного катализа, М., 1968, стр. 118. <sup>8</sup> Д. М. Блейкли, Поверхностная диффузия, М., 1965.